

и  $E_2$ , т. е. в плоскости, перпендикулярной лучу проходящему поляризованного света. Такое движение проще для интерпретации, чем пространственное движение в чистом П-поле, где диполи и оси частиц в каждый момент расположены по образующим конуса, который раскрывается и сжимается вокруг направления  $E$ .

Напомним, что выражение (4) предполагало, что оси наибольшей и средней поляризуемости частицы  $\chi_1$  и  $\chi_2$  лежат в плоскости ( $E_1$ ,  $E_2$ ). Нетрудно понять, что при установившемся после включения полей явлении это условие реализуется автоматически: энергетически выгодно, чтобы ось наименьшей поляризуемости ( $\chi_3$ ) оставалась перпендикулярной плоскости ( $E_1$ ,  $E_2$ ).

Опыты, проделанные с рядом коллоидных суспензий в воде (более подробно эти результаты будут приведены в другой статье), показали, что кривые модуляции света в МСП, т. е. при плоском движении частиц без участия  $\Delta\chi$ , действительно отличаются от кривых модуляции света в методе чистого П-поля; для ряда коллоидов отличия имеют лишь количественный характер и не слишком велики. Это отвечает незначительной роли  $\Delta\chi$  по сравнению с  $\mu$  в полях порядка  $E=1$  СГСЭ (300 В/см). В других случаях (суспензия графита и пальгорскита) отличия носят резкий качественный характер (кривые модуляции «переворачиваются», т. е. вспышки темноты переходят в вспышки света и наоборот). Этот результат несомненно связан с тем, что, как показывают опыты в  $B$ -полях, у графита и пальгорскита  $\Delta\chi$  сопоставимо с  $\mu$ , и устранение влияния на  $\Delta\chi$  меняет кинематику движения частиц.

Заметим, что из полуширины кривых модуляции можно получить оценку  $\mu$  частиц [4]. Она согласуется с той, которая получается из метода  $B$ -поляй. Поскольку в  $B$ -полях движение частиц плоское, то сопоставление оценок  $\mu$  корректно производить именно с МСП, т. е. также для случая плоского движения.

Что касается применения МСП к молекулам, то нам представляется интересным использование этого метода прежде всего к полимерным и биологическим молекулам, где отделение факторов  $\Delta\chi$  и  $\mu$  особенно непросто ввиду гибкости молекул и возможного большого количества полярных групп.

#### Литература

- [1] Толстой Н. А., Спартаков А. А., Трусов А. А. — Опт. и спектр., 1965, т. 19, в. 5, с. 826—828.
- [2] Толстой Н. А., Спартаков А. А., Трусов А. А., Воронцов-Вельяминов П. Н. — В кн.: Структура и роль воды в живом организме. Л., 1968, с. 72—91.
- [3] Толстой Н. А., Спартаков А. А. — Колloid. журн., 1966, т. 28, в. 4, с. 580—587.
- [4] Войтилов В. В., Рудакова Е. В., Спартаков А. А., Толстой Н. А. — Колloid. журн., 1982, т. 44, в. 1, с. 107—113.

Поступило в Редакцию 20 ноября 1985 г.

УДК 535.51.098

Opt. и спектр., т. 61, в. 5, 1986

#### ПАРАМАГНИТНЫЙ ЭФФЕКТ ФАРАДЕЯ В РЕДКОЗЕМЕЛЬНЫХ ГРАНАТАХ

Валиев У. В., Попов А. И., Соколов Б. Ю.

В настоящее время детальный расчет величины эффекта Фарадея (ЭФ) в редкоземельных (РЗ) соединениях со структурой граната затруднен вследствие отсутствия систематических данных по собственным состояниям и уровням энергии возбужденной смешанной конфигурации  $4f^{(n-1)} 5d$  РЗ-иона [1-3]. Однако, как показали многочисленные исследования разрешенных (по спину)

и по четности)  $4f \rightarrow 5d$  оптических переходов в двух- и трехвалентных РЗ-ионах в кристаллах [4, 5], наиболее простым и информативным приближением для классификации состояний конфигурации  $4f^{(n-1)}5d$  является приближение среднего кристаллического поля. В этом случае квантовые числа  $L$  и  $S$  сохраняют еще свой смысл в классификации состояний и в первом приближении мы можем пренебречь «перемешиванием» состояний соседних термов, несмотря на довольно большую величину энергии взаимодействия  $5d$ -электрона с кристаллическим полем, сравнимую с энергией электростатического взаимодействия  $d$ -электрона с  $4f^{(n-1)}$  состоянием РЗ-иона.

Рассмотрим вклады в ЭФ  $B$ - и  $C$ -членов магнитооптической активности (члены «смешивания» и «парамагнитный» соответственно [1]), обусловленные электродипольными переходами из основного  $L_0S_0J_0$ -мультиплета РЗ-иона на разрешенные известными правилами отбора  $LS_0$ -термы конфигурации  $4f^{(n-1)}5d$ . Соответствующие вычисления, выполненные с учетом эффектов «смешивания» [1], приводят к следующему выражению для постоянной Верде  $V(L, S_0)$  РЗ-ионов в гранатах: <sup>1</sup>

$$V(L, S_0) = -\frac{8\pi Ne^2}{3c\pi\hbar\mu_0} \left(\frac{n^2+2}{3}\right)^2 \frac{\omega^2}{(\omega_0^2 - \omega^2)} \langle r \rangle^2 A(L) \times \\ \times \left[ \left( \frac{2-g_0}{g_0} \right) \chi_0 - \Delta\gamma_{vv} \right] \frac{|\langle L_0 \| Y_1 \| L \rangle|^2}{2L_0 + 1}, \quad (1)$$

где постоянная  $A(L)$  для переходов в разрешенные термы  $LS_0$  (где  $L=L_0, L_0 \pm 1$ ) равна соответственно

$$A(L_0 - 1) = \frac{1}{L_0}, \quad A(L_0) = \frac{1}{L_0(L_0 + 1)}, \quad A(L_0 + 1) = -\frac{1}{L_0 + 1}.$$

В формуле (1)  $\chi_0$  — магнитная восприимчивость РЗ-граната в расчете на один ион,  $\Delta\gamma_{vv}$  — ван-Флековский вклад в восприимчивость [1],  $g_0$  — фактор Ланде основного мультиплета РЗ-иона,  $\omega_0$  — средняя частота оптических переходов на терм  $LS_0$ ,  $\langle r \rangle = (4f|r|5d)$  — радиальный интеграл [6];  $\langle L_0 \| Y_1 \| L \rangle$  — приведенный матричный элемент для орбитальных состояний незаполненных оболочек,  $\bar{n}$  — средний показатель преломления РЗ-граната,  $N$  — число РЗ-ионов в см<sup>3</sup>,  $\mu_B$  — магнетон Бора,  $\omega$  — световая частота, удаленная от частот оптических переходов  $\omega_0$ . Для сравнения с экспериментальными данными целесообразно в формулу (1) ввести силу осциллятора  $f$  для разрешенных оптических переходов на возбужденный  $LS_0$ -терм РЗ-иона [2], которая определяется выражением (в приближении высоких температур)

$$f = \frac{8\pi m(\omega_0)}{9\hbar} \langle r \rangle^2 \frac{|\langle L_0 \| Y_1 \| L \rangle|^2}{2L_0 + 1}. \quad (2)$$

Тогда формула (1) может быть представлена в общепринятых обозначениях (см. [1]) в следующем виде:

$$V = [C\chi + B] \frac{\omega^2}{\omega_0^2 - \omega^2}, \quad (3)$$

где  $B$ -член — вклад «смешивания» [1],  $C$ -член — «парамагнитная» постоянная Верде, равная

$$C(L, S_0) = \left( \frac{2-g_0}{g_0} \right) A(L) K, \quad (4)$$

$$K = \frac{\pi e^2 (n^2 + 2)^2}{3m\pi c\mu_0\omega_0} f.$$

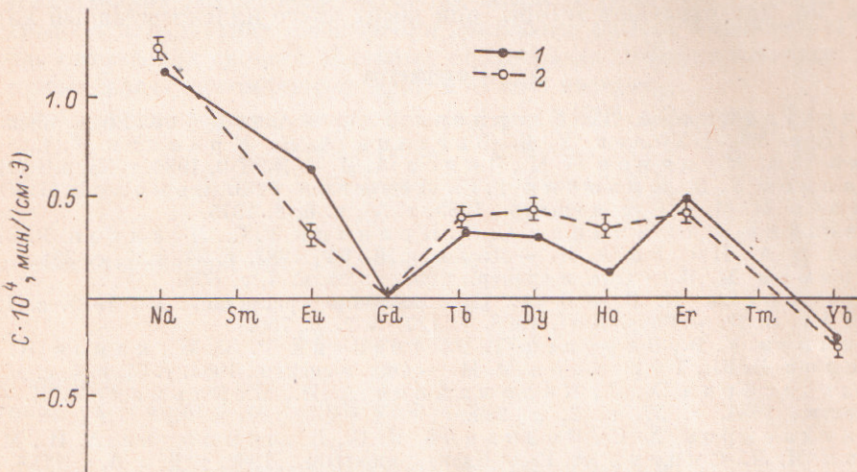
Таким образом, сопоставление данных по температурным и спектральным зависимостям ЭФ с температурными зависимостями магнитной восприимчивости парамагнитных РЗ-гранатов дает возможность экспериментального опре-

<sup>1</sup> Существенно отметить, что выражение (1) автоматически предполагает отсутствие «парамагнитного» ЭФ в ионе  $Gd^{3+}$ , так как  $g_0=2$  (при  $L_0=0$ ) [1, 3].

деления «парамагнитной» постоянной Верде  $C$ , связанной с разрешенными переходами в  $LS_0$ -термы конфигурации  $4f^{(n-1)}5d$  РЗ-иона.

Перейдем теперь к анализу экспериментальных данных по фарадеевскому вращению в РЗ-гранатах ( $\text{NdGaG}$ ,  $\text{TbGaG}$ ,  $\text{DyAlG}$ ,  $\text{HoAlG}$ ,  $\text{ErAlG}$ ,  $\text{YbAlG}$ ), полученных нами в интервале температур 80—300 К и длин волн 4000—12 000 Å. Магнитная восприимчивость РЗ-гранатов измерялась на вибрационном магнитометре в интервале температур 80—300 К. При определении величины «парамагнитной» постоянной Верде  $C$  и «эффективных» частот первых разрешенных переходов  $\omega_0$  использовалась методика, описанная в [7].

Обратившись вначале к результатам оптических исследований РЗ-ионов в парамагнитных гранатах, отметим, что картина  $4f \rightarrow 5d$  спектров поглощения ионов  $\text{Tb}^{3+}$  (а также, по-видимому, ионов  $\text{Pr}^{3+}$  [8] и  $\text{Nd}^{3+}$  [9]) в кристаллах определяется в основном кубической компонентой кристаллического поля [5]. Указанное обстоятельство является причиной существования в спектре поглощения



Зависимость «парамагнитной» постоянной Верде  $C$  от порядкового номера редкоземельного элемента.

1 — расчет по формулам (2), (4), 2 — эксперимент. При расчете использовались следующие значения частот разрешенных переходов  $\omega_0 \cdot 10^{-14}, \text{с}^{-1}$ , найденные из измерений ЭФ в спектральном интервале 4000—12 000 Å [7]:  $\text{NdGaG} = 78.83$ ,  $\text{TbGaG} = 75.90$ ,  $\text{EuGaG} = 64.96$ ,  $\text{DyAlG} = 92.91$ ,  $\text{HoAlG} = 104.67$ ,  $\text{ErAlG} = 102.39$ ,  $\text{YbAlG} = 82.56$ .

парамагнитного граната  $\text{Tb}_{0.2}\text{Y}_{2.8}\text{Al}_5\text{O}_{12}$  двух интенсивных полос поглощения в ультрафиолетовой области спектра [2]. В рамках приближения среднего кристаллического поля [4, 5] они связаны с разрешенными переходами в возбужденные  $^7D$ -термы иона  $\text{Tb}^{3+}$ , возникающие из  $t_{2g}$ - и  $e_g$ -состояний 5d-электрона в кристаллическом поле. Следовательно, в ионе  $\text{Tb}^{3+}$ , находящемся в кристаллическом поле, возможен только один тип разрешенных переходов  $L_0S_0 \rightarrow (L_0-1)S_0$ , что позволяет воспользоваться формулами (3) и (4) для прямого сравнения с экспериментальными данными.<sup>2</sup> Что же касается других РЗ-ионов в кристаллах, то в приближении среднего кристаллического поля нетрудно установить, что разрешенными переходами в ионах  $\text{Eu}^{3+}$ ,  $\text{Tm}^{3+}$ ,  $\text{Yb}^{3+}$  являются переходы типа  $L_0S_0 \rightarrow (L_0; L_0+1)S_0$ , в ионах  $\text{Nd}^{3+}$ ,  $\text{Ho}^{3+}$ ,  $\text{Er}^{3+}$  — переходы типа  $L_0S_0 \rightarrow (L_0; L_0 \pm 1)S_0$ , а в ионе  $\text{Dy}^{3+}$   $L_0S_0 \rightarrow (L_0; L_0-1)S_0$ . В этом случае вполне возможно использование формулы (4) для вычисления «парамагнитной» постоянной Верде  $C$  ( $L$ ,  $S_0$ ) для РЗ-ионов в гранатах, причем величины сил осцилляторов  $f$  для разрешенных переходов в нижайшие термы  $LS_0$  возбужденной смешанной конфигурации  $4f^{(n-1)}5d$  РЗ-ионов могут быть рассчитаны согласно [10]. Полученные данные позволяют восстановить зависимость «парамагнитной» постоянной Верде  $C$  от порядкового номера редкой земли согласно формуле (4), используя при этом соответствующие значения  $g_0$  и  $L_0$  для РЗ-ионов, а также экспериментально определенные значения «эффективных» ча-

<sup>2</sup> Расчет «парамагнитной» постоянной Верде  $C$  в  $\text{Tb}_{0.2}\text{Y}_{2.8}\text{Al}_5\text{O}_{12}$  с использованием данных [2] приводит к удовлетворительному согласию с результатами измерений ЭФ.

стот  $\omega_0$  и рассчитанные величины сил осцилляторов  $f$  для первых разрешенных переходов в РЗ-ионах. На рисунке приведены теоретическая и экспериментальная зависимость «парамагнитной» постоянной Верде РЗ-гранатов от порядкового номера редкоземельного элемента.<sup>3</sup> Обращает на себя внимание неплохое качественное согласие расчетных и опытных данных, хотя наблюдаются некоторые отклонения для ряда ионов, например,  $\text{Eu}^{3+}$ ,  $\text{Ho}^{3+}$  и т. д. Подобные отклонения могут быть объяснены достаточно приближенным характером рассмотрения, но в целом результаты данной работы убедительно свидетельствуют о целесообразности использования приближения среднего кристаллического поля при интерпретации данных магнитооптических исследований в РЗ-гранатах.

В заключение отметим, что указанная попытка определения зависимости постоянной Верде РЗ-соединений от порядкового номера РЗ-элемента не является единственной. Например, в [12] приведены результаты теоретического исследования подобной зависимости в фосфатных стеклах, допированных РЗ-ионами, но, как отмечают авторы, они носят чисто иллюстративный характер.

### Литература

- [1] Buckingham A. D., Stephens R. J. — Annual. Rev. Phys. Chem., 1966, v. 17, p. 399; Валиев У. В., Звездин А. К., Кринчик Г. С., Левитин Р. З., Мукимов К. М., Попов А. И. — ЖЭТФ, 1983, т. 85, в. 1 (7), с. 311.
- [2] Валиев У. В., Кринчик Г. С., Левитин Р. З., Соколов Б. Ю., Тургапов М. М. — Опт. и спектр., 1985, т. 58, в. 6, с. 1375.
- [3] Звездин А. К., Копчик С. В., Кринчик Г. С., Левитин Р. З., Лысиков В. А., Попов А. И. — Письма в ЖЭТФ, 1983, т. 37, в. 7, с. 331.
- [4] Еремин М. В. — Опт. и спектр., 1969, т. 26, в. 4, с. 578.
- [5] Старостин Н. В. — В кн.: Спектроскопия кристаллов. М., 1975, с. 12.
- [6] Judd B. R. — Phys. Rev., 1963, v. 127, N 2, p. 750.
- [7] Валиев У. В., Бирюзов Т. В., Левитин Р. З., Мукимов К. М., Соколов Б. Ю., Тургапов М. М. — Опт. и спектр., 1984, т. 57, в. 4, с. 757.
- [8] Багдасаров Х. С., Коломийцев А. И., Мейльман М. Л. — Опт. и спектр., 1984, т. 57, в. 2, с. 239.
- [9] Багдасаров Х. С., Володина И. С., Коломийцев А. И., Мейльман М. Л., Смагин А. Г. — Квант. электрон., 1982, т. 9, в. 6, с. 1158.
- [10] Собельман И. И. Введение в теорию атомных спектров. М., 1977, с. 319.
- [11] Валиев У. В., Попов А. И. — ФТТ, 1985, т. 27, в. 9, с. 2729.
- [12] Дружинин В. В., Таценко О. М. — Опт. и спектр., 1977, т. 42, в. 1, с. 147.
- [13] Sander L., Kittel C. — J. Appl. Phys., 1967, v. 38, N 3, p. 1476.

Поступило в Редакцию 27 января 1986 г.

УДК 535.42 : 532.783

Opt. и спектр., т. 61, в. 3, 1986

## ДИФРАКЦИЯ СВЕТА В НЕОДНОРОДНО ДЕФОРМИРОВАННЫХ ХОЛЕСТЕРИЧЕСКИХ ЖИДКИХ КРИСТАЛЛАХ

Ветров С. Я., Втюрин А. Н., Жаркова Г. М., Мамаев В. П.,  
Михалева М. А., Хачатурян В. М., Шабанов В. Ф.

Холестерические жидкие кристаллы (ХЖК) находят широкое применение в качестве цветовых индикаторов различных полей — температурных, электрических, магнитных, деформационных и т. д. Это связано с наличием в однородно-ориентированной холестерической пленке периодической структуры, период которой одного порядка величины с длинами волн видимого света, и сильно зависит от этих полей, что приводит к хорошо видимой дифракции света на ХЖК и сильной чувствительности дифракционной картины к изменениям внешних

<sup>3</sup> При вычислении постоянной Верде РЗ-граната  $\text{EuGaG}$  были использованы результаты [11], и коэффициент  $C$  в формуле (4) равен  $C = K/(L_0 + 1)$ . Вклад магнитодипольных переходов в ионе  $\text{Eu}^{3+}$  в ЭФ учитывался согласно [13].